

- PE-Cy7 CD38 antibody (Becton Dickinson Code. 335790)  
CD133/1 (AC133)-APC antibody (Miltenyi, Code.130-098-829)  
・qPCR 用 DNA 抽出試薬: SimplePrep® reagent for DNA (TaKaRa Code.9180)  
・レンチウイルスプロウイルスコピー数測定試薬:  
    Lenti-X Provirous Quantitation Kit (TaKaRa Code.Z1239N)  
    Provirous Copy Number Detection Primer Set, Human (for Real Time) (TaKaRa Code.6167)

## 2-2. 主な使用機器

- ・バイオハザード対策用キャビネット (HITACHI, SCV-1307ECHIAB3)
- ・CO<sub>2</sub> インキュベーター (Thermo, Forma Direct Heat CO<sub>2</sub> incubator)
- ・遠心機 (TOMY, AX-321)
- ・遠心機 (TOMY, LX-121)
- ・微量遠心機 (TOMY, MX-200)
- ・蛍光顕微鏡 (OLYMPUS, IX71)
- ・Flow Cytometer (Becton Dickinson, BD FACSCantoII flow cytometer)
- ・FCM 解析用ソフトウェア (Becton Dickinson, FACSDiva)
- ・Thermal Cycler Dice Real Time System II (TaKaRa, TP800)
- ・マルチシェイカー (EYELA, MULTI SHAKER MMS)

## 3. 方法と結果

### 3-1. KG-1a 細胞株の培養

10cm Non-tissue culture treatment dish で培養を行なった。KG-1a 細胞株は浮遊細胞のため、培養細胞懸濁液を回収し、遠心分離(500×g, 5min)により上清を除いた後、10%FBS 添加 RPMI-1640 培地にて再懸濁を行い、細胞数の測定を行った。その後、適当な細胞濃度となるように、10%FBS 添加 RPMI-1640 培地で希釈し、培養を行った。以降、同様に継代し、培養を続けた。遺伝子導入に使用する KG-1a 細胞株は、検討に先立ち、各培地(X-VIVO10、CellGro-SCGM、GT-T551、および GT-T-RetroIII 培地)にて、1週間段階的(20%、60%、100%)に馴化培養を行った後に使用した。

### 3-2. 生物由来原料非含有培養用培地による遺伝子導入効率の比較評価

#### 生物由来原料基準を満たす培地を用いた遺伝子導入効率の比較評価

##### 3-2-1. CD34 発現細胞株(KG-1a 細胞株)を用いた遺伝子導入効率評価

###### 【方法】

本検討では、X-VIVO10、CellGro-SCGM、GT-T551 培地および生物由来原料非含有培地としてヒトransフェリンを含まない GT-T-RetroIII 培地を使用し比較検討を行った。GT-T-RetroIII 培地は硫酸ストレプトマイシンを終濃度 50μg/ml となるように添加し、以降の試験に使用した。

RetroNectin®コーティングプレート(24 well plate)に、希釈したレンチウイルスベクター溶液(×100 倍)を 1ml/well で添加し、マルチシェイカーにて 4°C で 16 時間振盪を行うことで、レンチウイルス結合プレートを作製した(RBV-LTS 法)。振盪終了後、1.5%HSA/生理食塩水で 3 回洗浄を行い、遺伝子導入に使用するまで 4°C で保管した。また、RN コーティングプレートに希釈したレンチウイルスベクター溶液(×100 倍)を 1ml/well で添加し、32°C、2000×g で 2 時間遠心を行うことで、レンチウイルス結合プレートを作製し、1.5%HSA/生理食塩水で 3 回洗浄を行い、遺伝子導入に使用するまで 4°C で保管した(RBV-spin 法)。

遺伝子導入時には、上記 4 種類の培地に加え、GT-T-RetroIII 培地に Insulin Solution を  $10\mu\text{g}/\text{ml}$  で添加した培地 (GT-T-RetroIII+Insulin 培地) を用い行った。

遺伝子導入は、RBV-LTS 法、RBV-spin 法により作製したレンチウイルス結合プレートに  $0.4 \times 10^6 \text{ cells}/\text{ml}$  の濃度に調整した KG-1a 細胞を  $1\text{ml}/\text{well}$  で添加し、静置により遺伝子導入を行った (RBV-LTS 法、RBV-spin (-) 法)。これに加えて、RBV-spin 法により作製したレンチウイルス結合プレートを用いて、遺伝子導入時 (細胞添加直後) に  $32^\circ\text{C}$ 、 $1000 \times g$  で 10 分間遠心を行うことで、遺伝子導入を実施した (RBV-spin (+) 法)。また、RetroNectin®コーティングプレートに、希釈したレンチウイルスベクター溶液 ( $\times 50$  倍) と KG-1a 細胞 ( $0.8 \times 10^6 \text{ cells}/\text{ml}$ ) を前述の遺伝子導入法と総細胞量およびウイルス量は等しくなるように混和し、静置により感染を行った (Supernatant 法)。

遺伝子導入 48 時間後に生物由来原料非含有培地による細胞増殖への影響を検討するため、細胞数の測定を行つた。その後、一部の培養細胞を回収し、Flow Cytometry により ZsGreen 陽性細胞率の解析を行つた。また、遺伝子導入効率を培養細胞中のレンチウイルスのプロウイルスコピー数を測定することにより評価を行つた。

## 【結果】

KG-1a 細胞株の各培地への馴化培養後の細胞形態を添付データ 5-1 に示す。KG-1a 細胞株の馴化培養による明らかな細胞形態の変化は認められなかつた。また、遺伝子導入 48 時間後の培養細胞数の細胞数測定を行つた結果、X-VIVO および GT-T551 培地で高い値を示した (添付データ 5-2)。ZsGreen 発現細胞率の測定結果より、遺伝子導入効率は GT-T-RetroIII、GT-T551 培地で、他の培地条件に比べて高い値を示した (添付データ 5-3 及び 5-4)。また、レンチウイルスのプロウイルスコピー数を測定した結果においても、GT-T-RetroIII 培地で高い遺伝子導入効率が認められた (添付データ 5-5)。

### 3-2-2. ヒト由来 CD34 陽性細胞を用いた遺伝子導入効率評価

#### 【方法】

RetroNectin®コーティングプレート (24 well plate) に希釈したレンチウイルスベクター溶液 ( $\times 50$  倍) を  $1\text{ml}/\text{well}$  で添加し、 $32^\circ\text{C}$ 、 $2000 \times g$  で 2 時間遠心を行うことで、レンチウイルス結合プレートを作製し、1.5%HSA/生理食塩水で 3 回洗浄を行い、遺伝子導入に使用するまで  $4^\circ\text{C}$  で保管した (RBV-spin 法)。

ヒト由来 CD34 陽性細胞は、細胞播種前に Flow Cytometry による免疫表現型解析を行つた。その後、細胞をサイトカイン添加 X-VIVO10 培地、CellGro-SCGM 培地、GT-T-RetroIII 培地、GT-T-RetroIII+Insulin 培地、及び GT-T551 培地 (SCF 300ng/ml、TPO 100ng/ml、Flt3-L 300ng/ml、IL-3 60ng/ml) にて 24 時間培養を行つた。RBV-spin 法により作製したレンチウイルス結合プレートにサイトカイン刺激培養細胞 ( $0.3 \times 10^6 \text{ cells}$ ) を  $1\text{ml}/\text{well}$  で播種し、RBV-spin (-) 法により遺伝子導入を行つた。遺伝子導入 48 時間後に培養細胞数の測定を行つた後、培養細胞の一部を回収し、Flow Cytometry により免疫表現型解析 (CD34、CD133、CD38、CD90) 及び ZsGreen 陽性細胞率の解析を行つた。また、遺伝子導入効率を培養細胞中のレンチウイルスのプロウイルスコピー数を測定することにより評価を行つた。

#### 【結果】

ヒト由来 CD34 陽性細胞の Day0 細胞播種時、サイトカイン刺激培養後、及び遺伝子導入 48 時間後の細胞形態及び ZsGreen 蛍光顕微鏡像を添付データ 5-6、5-7 及び 5-8 に示す。培養細胞の各培地間での明らかな細胞形態の差は認められなかつた (添付データ 5-7 及び 5-8)。遺伝子導入 48 時間後の細胞数の測定結果より、総細胞増殖倍率は CellGro-SCGM 及び GT-T-RetroIII 培地で高い値を示した (添付データ 5-9)。ヒト由来 CD34 陽性細胞の凍結融解直後の免疫表現型解析結果を添付データ 5-10 に示す。遺伝子導入 48 時間後の培養細胞の免疫表現型解析結果より、CD34、CD90、CD133 陽性細胞率及び CD38 陰性細胞率は、CellGro-SCGM 培地でわずかに高かつた

(添付データ 5-11)。CD34+CD38-CD133+細胞率及び CD34+CD90+CD133+細胞率については、条件間で明らかな差は認められなかった(添付データ 5-12)。また、ZsGreen 発現細胞の FCM 解析より、GT-T-RetroIII 培地及び GT-T551 培地で遺伝子導入効率はわずかに高い値を示した(添付データ 5-13)。また、ZsGreen 発現細胞中の CD34+CD38-CD133+細胞率及び CD34+CD90+CD133+細胞率も、条件間で明らかな差は認められなかった(添付データ 5-14)。レンチウイルスのプロウイルスコピー数測定結果において、GT-T-RetroIII 培地で高い値を示した(添付データ 5-15)。

### 3-3. Flow Cytometry 解析

#### 3-3-1. ZsGreen 発現細胞率解析

BD FACSCanto II フローサイトメーターにより細胞の ZsGreen 発現細胞率を計測した。

- 1) 各細胞の、FSC-A (前方散乱光: 細胞の大きさを反映) と SSC-A (側方散乱光: 細胞の内部構造の複雑さを反映) により二次元展開した。
- 2) 細胞集団を枠で囲んで領域を設定し、更に設定領域の細胞について GFP-A (計測波長 515-545 nm) で ZsGreen の蛍光波長 520 nm を検出し、FSC-A と ZsGreen の蛍光強度により二次元展開した。非遺伝子導入 KG-1a 細胞をコントロールとして ZsGreen 陽性領域を設定した。

#### 3-3-2. 免疫表現型解析

BD FACSCanto II フローサイトメーターにより回収細胞中の CD34、CD38、CD90、CD133、及び ZsGreen 発現細胞率を計測した。

- 1) 1 サンプルあたり約  $1 \times 10^5$  cells を回収し FACS Buffer (0.5% BSA/PBS) 1ml で、洗浄後、下記条件で抗体染色を行った。抗体反応を 4°C、30 分間、暗所で行った後、FACS Buffer 1ml にて 2 度洗浄を行った。

| Set1        |       | Set2        |       |
|-------------|-------|-------------|-------|
| 抗体          | 液量    | 抗体          | 液量    |
| (ZsGreen)   | —     | (ZsGreen)   | —     |
| CD34-PerCP  | 2 µl  | CD34-PerCP  | 2 µl  |
| CD38-PECy7  | 1 µl  | CD90-PECy7  | 1 µl  |
| CD133-APC   | 1 µl  | CD133-APC   | 1 µl  |
| FACS Buffer | 6 µl  | FACS Buffer | 6 µl  |
| Total       | 10 µl | Total       | 10 µl |

- 2) 各種細胞浮遊液をフローサイトメーターにアプライし、FSC-A (前方散乱光: 細胞の大きさを反映) と SSC-A (側方散乱光: 細胞の内部構造の複雑さを反映) により二次元展開した。
- 3) 細胞集団を枠で囲んで設定し、更に設定領域の細胞について GFP-A で ZsGreen の蛍光極大波長 505 nm を検出した。PerCP-A では、PerCP-human CD34 (8G12) antibody の蛍光極大波長 678nm を測定した。PE-Cy7-A では、PE-Cy7 CD38 antibody 及び PE-Cy7 mouse anti-human CD90 antibody の蛍光極大波長 785nm を測定した。APC-A では、CD133/1 (AC133)-APC antibody の蛍光極大波長 660nm を測定した。CD34、CD38、CD90、CD133 と ZsGreen の蛍光強度によりヒストグラムで展開し、各陽性細胞比率を算出した。
- 4) FSC-A と SSC-A にて二次元展開して設定した領域の細胞について CD34 及び CD38 又は CD90 の蛍光強度で二次元展開し、CD34 及び CD38 陰性細胞又は CD90 陽性細胞を枠で囲んで設定した後、さらにこの設定領域の細胞について、CD133 についてヒストグラムで展開し、CD34+ CD38-CD133+ 細胞率又は CD34+

CD90+CD133+細胞率を算出した。ZsGreen 陽性細胞中の CD34+ CD38-CD133+細胞率又は CD34+ CD90+CD133+細胞率も同様に算出した。

### 3-4. レンチウイルスベクターによる遺伝子導入細胞中のプロウイルスコピー数測定

#### リアルタイム RT-PCR 解析

凍結保存細胞 ( $1 \times 10^5$  cells) からリアルタイム RT-PCR 用に SimplePrep<sup>®</sup> reagent for DNA を用いて付属のプロトコールに従いゲノム DNA を抽出した後、これを用いてリアルタイム PCR を実施した。Lenti-X Provirus Quantitation Kit のプロトコールに従い実施した。なお、この測定においては、検量線をレンチウイルスとヒト IFN $\gamma$ (インターフェロン  $\gamma$ ) それぞれの最適領域が 1 コピークローニングされた DNA control を用いて 2 種類(レンチウイルスとヒト IFN $\gamma$ )により作成し、試料ゲノム DNA 中のレンチウイルスとヒト IFN $\gamma$ の定量を行った。ヒト IFN $\gamma$ の PCR 増幅には、Provirus Copy Number Detection Primer Set, Human (for Real Time) のプライマーを使用した。ヒト IFN $\gamma$ は染色体中に 1 コピーであることから、レンチウイルスプロウイルスコピー数を相対的に定量した。リアルタイム PCR は、Thermal Cycler Dice Real Time System を用いて行い、試料中のプロウイルスコピー数の定量を行った。

#### ・PCR 産物増幅曲線 (Primary Curve)

サイクル数を X 軸に、蛍光強度を Y 軸にプロットしたグラフ。

#### ・二次微分曲線 (2nd Derivative)

PCR 産物増幅曲線の蛍光強度を 2 回微分したグラフ。

二次微分曲線 (2nd Derivative) から算出した Ct 値を X 軸に DNA control 量を Y 軸にプロットしてレンチウイルスとヒト IFN $\gamma$ の検量線を作成した。この検量線より以下の方法で、レンチウイルスのプロウイルスコピー数を算出した。

レトロウイルス用検量線およびヒト IFN  $\gamma$  用検量線から、サンプルのレンチウイルスコピーとヒト IFN  $\gamma$  の濃度を算出

$$\text{プロウイルスコピー数} = (\text{サンプルのレンチウイルスコピー濃度} / \text{サンプルのヒト IFN } \gamma \text{ 濃度}) \times 2 *$$

\*: 正常細胞は常染色体が 2 倍体なので、2 を掛ける

### 4. 納品物

- ・本作業報告書 1 部

## 5. 添付データ

生物由来原料非含有培養用培地による遺伝子導入効率の比較評価

CD34 発現細胞株（KG-1a 細胞株）を用いた遺伝子導入効率評価

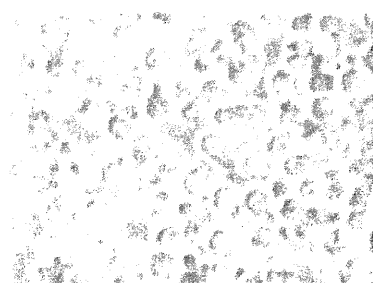
5-1. KG-1a 細胞株の生物由来原料非含有培養用培地(100%)への馴化培養の様子

10%FBS 含有 RPMI-1640 培地

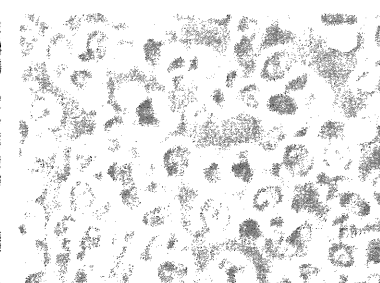


X-VIVO 培地

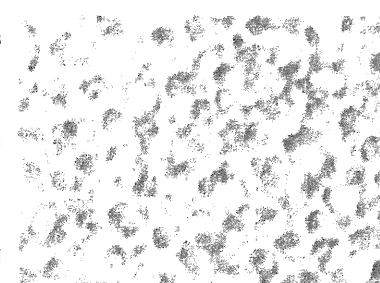
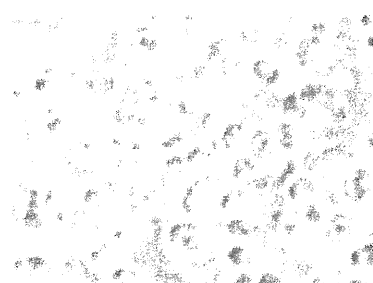
CellGro-SCGM 培地



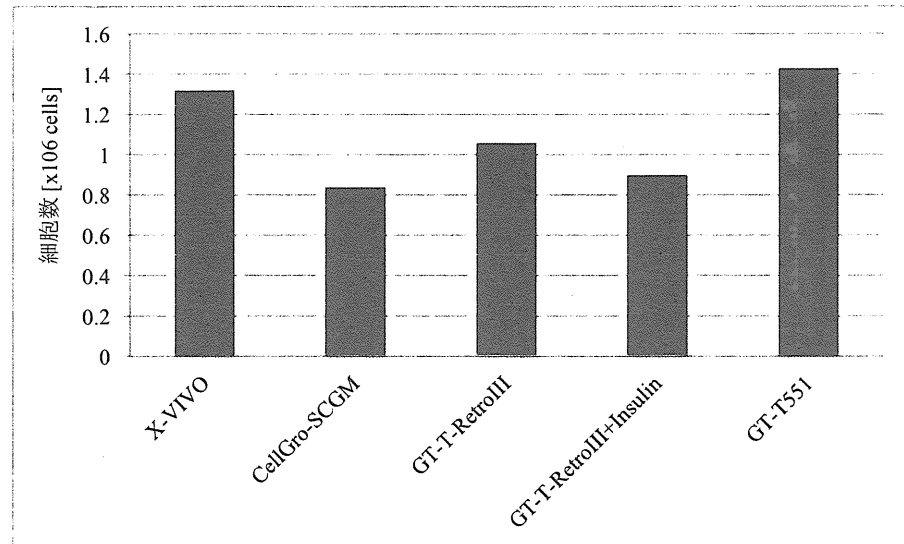
GT-T-RetroIII 培地



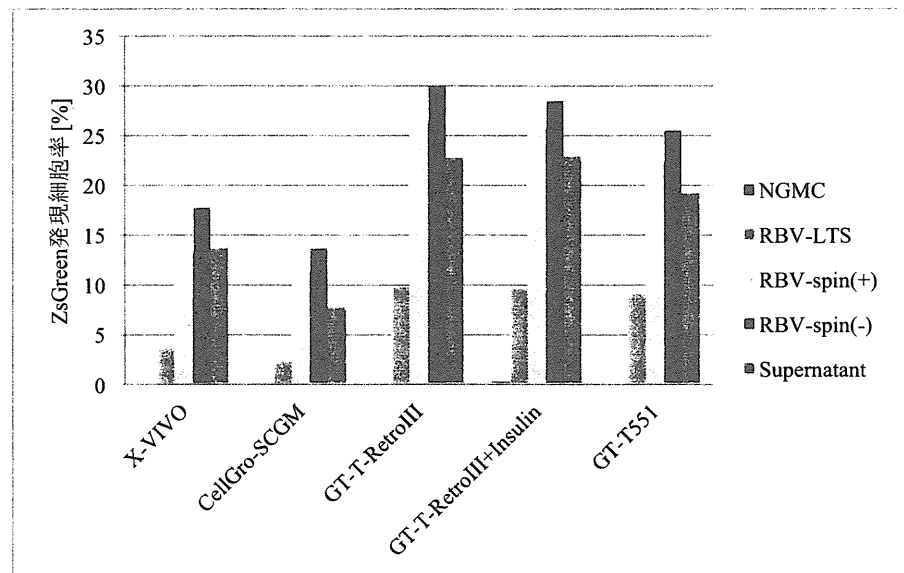
GT-T551 培地



### 5-2. 遺伝子導入 48 時間後の培養細胞数測定結果



### 5-3. 遺伝子導入 48 時間後の 培養細胞の ZsGreen 発現細胞率



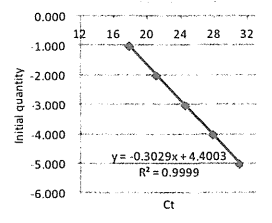
### 5-4. 遺伝子導入 48 時間後の 培養細胞の ZsGreen 発現細胞率

| 培地                    | ZsGreen 発現細胞率 [%] |         |              |              |             |
|-----------------------|-------------------|---------|--------------|--------------|-------------|
|                       | NGMC              | RBV-LTS | RBV-spin (+) | RBV-spin (-) | Supernatant |
| X-VIVO10              | 0.1               | 3.65    | 13.25        | 17.8         | 13.75       |
| CellGro-SCGM          | 0.1               | 2.35    | 11.3         | 13.7         | 7.8         |
| GT-T-RetroIII         | 0.1               | 9.75    | 26.35        | 29.9         | 22.8        |
| GT-T-RetroIII+Insulin | 0.3               | 9.65    | 25.75        | 28.5         | 22.95       |
| GT-T551               | 0.1               | 9.1     | 22.3         | 25.55        | 19.3        |

5-5 遺伝子導入 48 時間後の 培養細胞中のレンチウイルスのプロウイルスコピー数測定結果

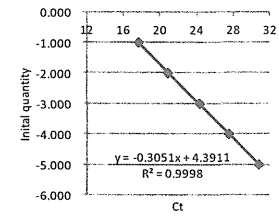
IFN $\gamma$  standard curve

| Sample ID   | ng     | Log(10) | Ct(SDM) | Average |
|-------------|--------|---------|---------|---------|
| Std Plasmid | 1.E-01 | -1.000  | 17.88   | 17.83   |
|             | 1.E-02 | -2.000  | 21.05   | 21.11   |
|             | 1.E-03 | -3.000  | 24.5    | 24.49   |
|             | 1.E-04 | -4.000  | 27.93   | 27.80   |
|             | 1.E-05 | -5.000  | 31.32   | 30.98   |
| SLOPE       |        |         | -0.3029 |         |
| INTERCEPT   |        |         | 4.400   |         |
| A.E. value  |        |         | 0.234   |         |
| RSQ         |        |         | 0.9999  |         |



Lentivirus copy standard curve

| Sample ID   | ng     | Log(10) | Ct(SDM) | Average |
|-------------|--------|---------|---------|---------|
| Std Plasmid | 1.E-01 | -1.000  | 17.75   | 17.61   |
|             | 1.E-02 | -2.000  | 20.9    | 20.86   |
|             | 1.E-03 | -3.000  | 24.4    | 24.26   |
|             | 1.E-04 | -4.000  | 27.4    | 27.57   |
|             | 1.E-05 | -5.000  | 30.78   | 30.75   |
| SLOPE       |        |         | -0.3051 |         |
| INTERCEPT   |        |         | 4.391   |         |
| A.E. value  |        |         | 0.235   |         |
| RSQ         |        |         | 0.9998  |         |

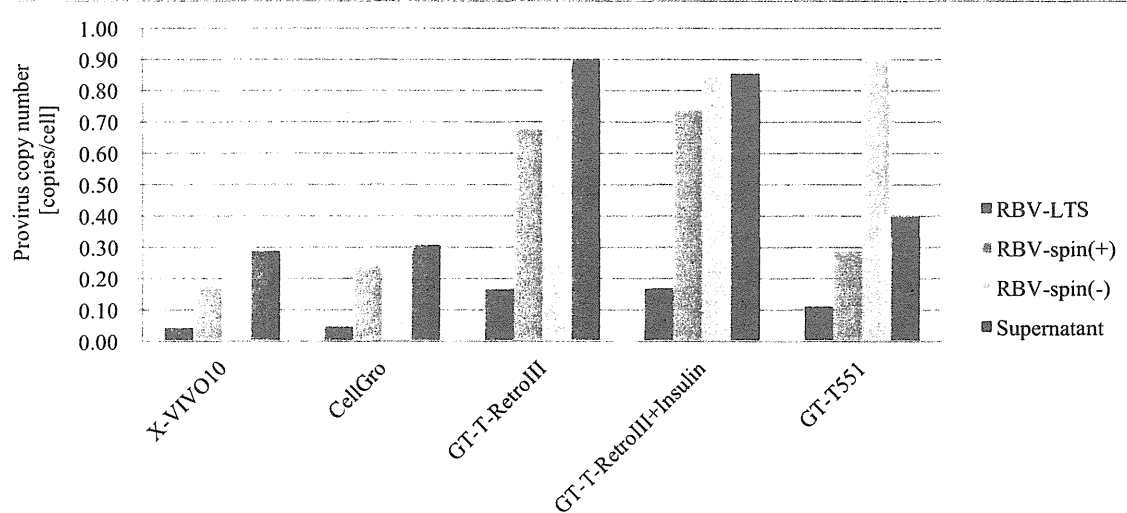


サンプルのIFN $\gamma$ 濃度

| 遺伝子導入法      | 培地                    | Ct(SDM) | Average Ct | Genome Std      |
|-------------|-----------------------|---------|------------|-----------------|
| NGMC        | X-VIVO10              | 20.89   | 20.86      | 1.20.E-02       |
|             | CellGro               | 22.84   | 22.79      | 3.09.E-03       |
|             | GT-T-RetroIII         | 23.51   | 23.49      | 1.92.E-03       |
|             | GT-T-RetroIII+Insulin | 23.05   | 23.2       | 2.49.E-03       |
|             | GT-T551               | 22.57   | 22.61      | 3.62.E-03       |
| RBV-LTS     | X-VIVO10              | 20.69   | 20.88      | 1.27.E-02       |
|             | CellGro               | 21.45   | 21.45      | 8.02.E-03       |
|             | GT-T-RetroIII         | 21.7    | 21.72      | 6.69.E-03       |
|             | GT-T-RetroIII+Insulin | 21.85   | 21.94      | 5.88.E-03       |
|             | GT-T551               | 21.7    | 21.74      | 6.64.E-03       |
| RBV-spin(+) | X-VIVO10              | 20.79   | 20.82      | 20.81 1.26.E-02 |
|             | CellGro               | 22.42   | 22.45      | 4.03.E-03       |
|             | GT-T-RetroIII         | 22.38   | 22.47      | 22.43 4.06.E-03 |
|             | GT-T-RetroIII+Insulin | 21.47   | 21.47      | 21.47 7.91.E-03 |
|             | GT-T551               | 20.69   | 20.61      | 20.65 1.40.E-02 |
| RBV-spin(-) | X-VIVO10              | 20.97   | 20.89      | 20.93 1.15.E-02 |
|             | CellGro               | 21.93   | 21.9       | 21.92 5.80.E-03 |
|             | GT-T-RetroIII         | 21.51   | 21.56      | 21.54 7.56.E-03 |
|             | GT-T-RetroIII+Insulin | 21.47   | 21.44      | 21.46 7.99.E-03 |
|             | GT-T551               | 23.79   | 23.67      | 23.73 1.63.E-03 |
| Supernatant | X-VIVO10              | 20.83   | 20.7       | 20.77 1.29.E-02 |
|             | CellGro               | 22.02   | 22.01      | 22.02 5.41.E-03 |
|             | GT-T-RetroIII         | 21.73   | 21.65      | 21.69 6.78.E-03 |
|             | GT-T-RetroIII+Insulin | 21.34   | 21.35      | 21.35 8.63.E-03 |
|             | GT-T551               | 20.73   | 20.84      | 20.79 1.27.E-02 |

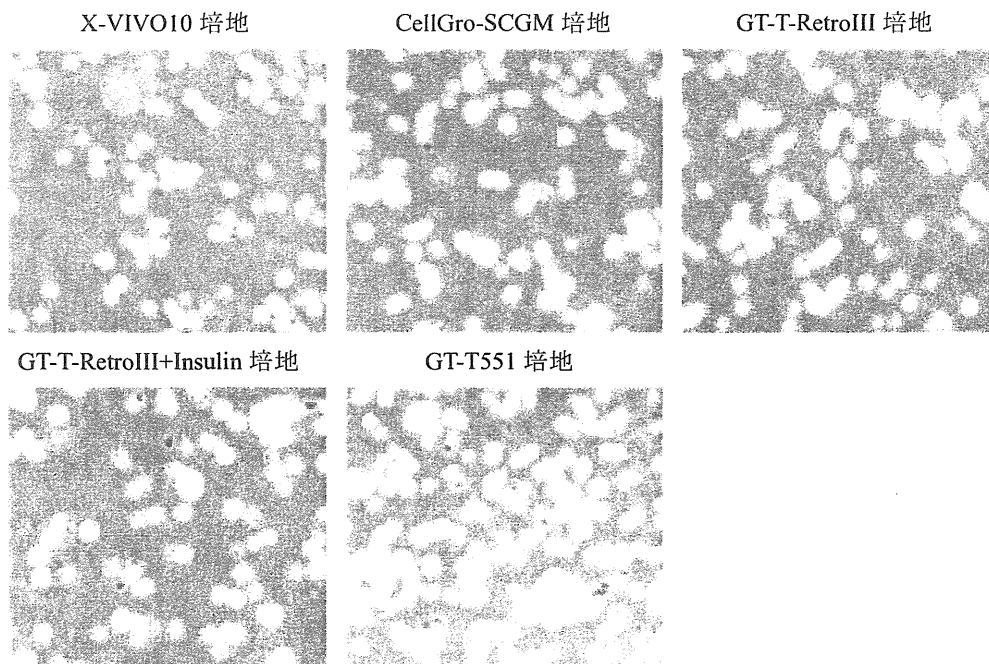
サンプルのLentivirus copy濃度

| 遺伝子導入法      | 培地                    | Ct(SDM) | Average Ct | Genome Std(new) | Provirus copy# |
|-------------|-----------------------|---------|------------|-----------------|----------------|
| NGMC        | X-VIVO10              | 34.3    | 34.13      | 34.22           | 8.98.E-07 0.00 |
|             | CellGro               | 36.72   | 34.56      | 35.64           | 3.30.E-07 0.00 |
|             | GT-T-RetroIII         | 36.21   | 31.78      | 33.99           | 1.05.E-06 0.00 |
|             | GT-T-RetroIII+Insulin | 35.84   | 35.19      | 35.52           | 3.60.E-07 0.00 |
|             | GT-T551               | 34.86   | 36.74      | 35.80           | 2.95.E-07 0.00 |
| RBV-LTS     | X-VIVO10              | 26.05   | 26.03      | 26.04           | 2.80.E-04 0.04 |
|             | CellGro               | 26.6    | 26.5       | 26.55           | 1.96.E-04 0.05 |
|             | GT-T-RetroIII         | 25.04   | 25.07      | 25.06           | 5.59.E-04 0.17 |
|             | GT-T-RetroIII+Insulin | 25.25   | 25.19      | 25.22           | 4.98.E-04 0.17 |
|             | GT-T551               | 25.64   | 25.62      | 25.63           | 3.74.E-04 0.11 |
| RBV-spin(+) | X-VIVO10              | 24.11   | 24.07      | 24.09           | 1.10.E-03 0.18 |
|             | CellGro               | 25.28   | 25.22      | 25.25           | 4.88.E-04 0.24 |
|             | GT-T-RetroIII         | 23.78   | 23.77      | 23.78           | 1.37.E-03 0.68 |
|             | GT-T-RetroIII+Insulin | 22.73   | 22.68      | 22.71           | 2.91.E-03 0.74 |
|             | GT-T551               | 23.23   | 23.23      | 23.23           | 2.02.E-03 0.29 |
| RBV-spin(-) | X-VIVO10              | 23.25   | 23.17      | 23.21           | 2.04.E-03 0.35 |
|             | CellGro               | 24.56   | 24.48      | 24.52           | 8.15.E-04 0.28 |
|             | GT-T-RetroIII         | 22.45   | 22.59      | 22.52           | 3.32.E-03 0.88 |
|             | GT-T-RetroIII+Insulin | 22.47   | 22.47      | 22.47           | 3.44.E-03 0.86 |
|             | GT-T551               | 24.66   | 24.65      | 24.66           | 7.41.E-04 0.91 |
| Supernatant | X-VIVO10              | 23.3    | 23.37      | 23.34           | 1.87.E-03 0.29 |
|             | CellGro               | 24.42   | 24.55      | 24.49           | 8.35.E-04 0.31 |
|             | GT-T-RetroIII         | 22.62   | 22.65      | 22.64           | 3.06.E-03 0.90 |
|             | GT-T-RetroIII+Insulin | 22.33   | 22.41      | 22.37           | 3.69.E-03 0.86 |
|             | GT-T551               | 22.89   | 22.9       | 22.90           | 2.55.E-03 0.40 |

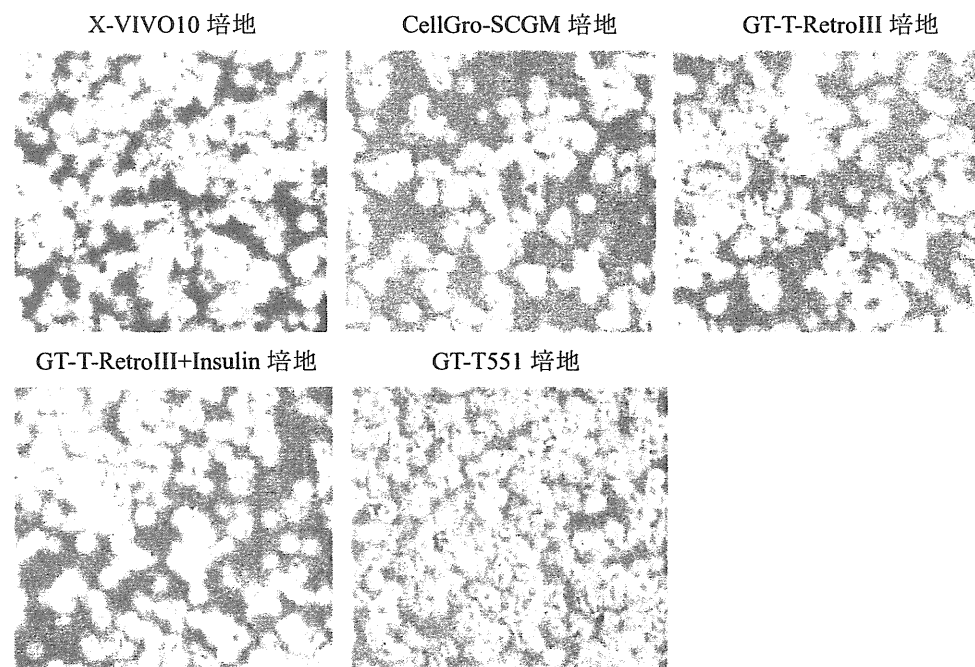


ヒト由来 CD34 陽性細胞を用いた遺伝子導入効率評価

5-6. ヒト由来 CD34 陽性の Day0 細胞播種時の細胞形態写真

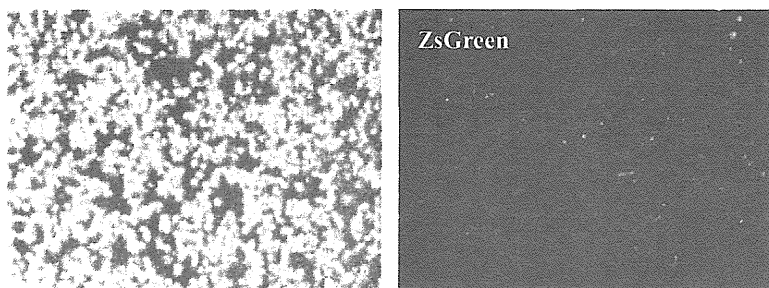


5-7. ヒト由来 CD34 陽性の Day1 サイトカイン刺激 24 時間後の細胞形態写真

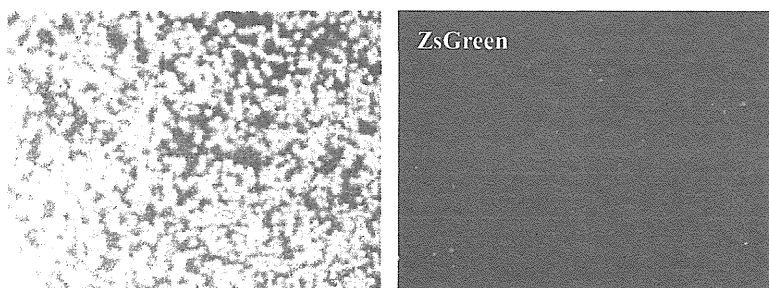


5-8. ヒト由来 CD34 陽性細胞の遺伝子導入 48 時間後の細胞形態及び ZsGreen 蛍光顕微鏡像

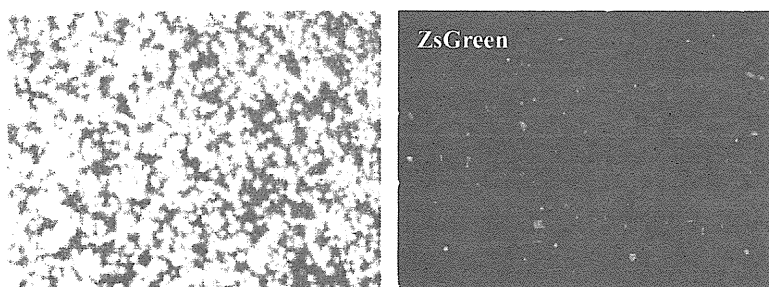
X-VIVO10 培地



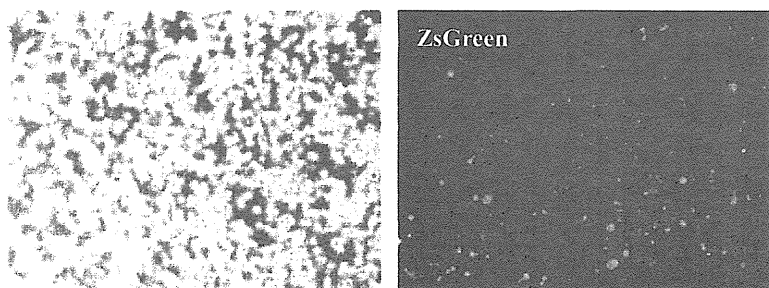
CellGro-SCGM 培地



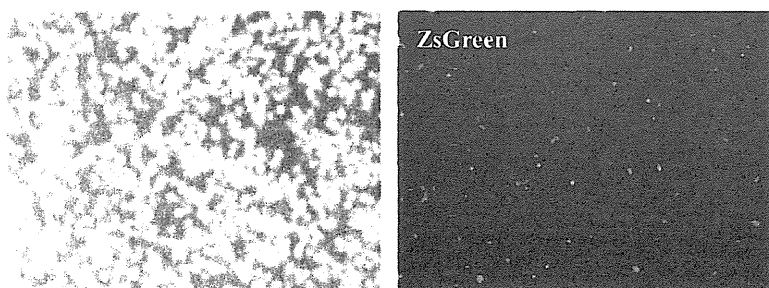
GT-T-RetroIII 培地



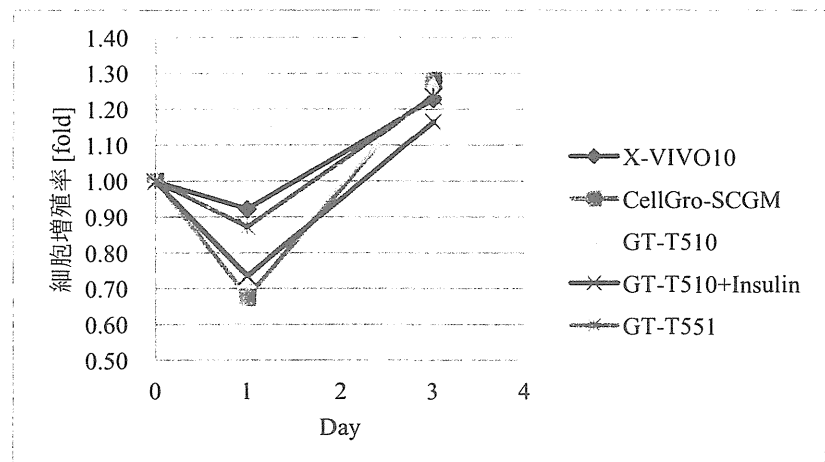
GT-T-RetroIII+Insulin 培地



GT-T551 培地



### 5-9. 遺伝子導入 48 時間後の培養細胞の増殖率

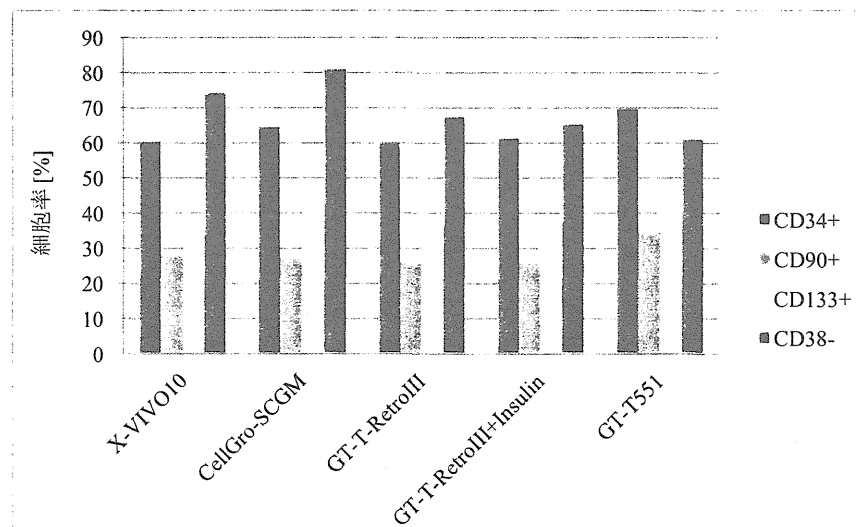


### 5-10. 細胞播種前のヒト由来 CD34 陽性細胞の免疫表現型解析

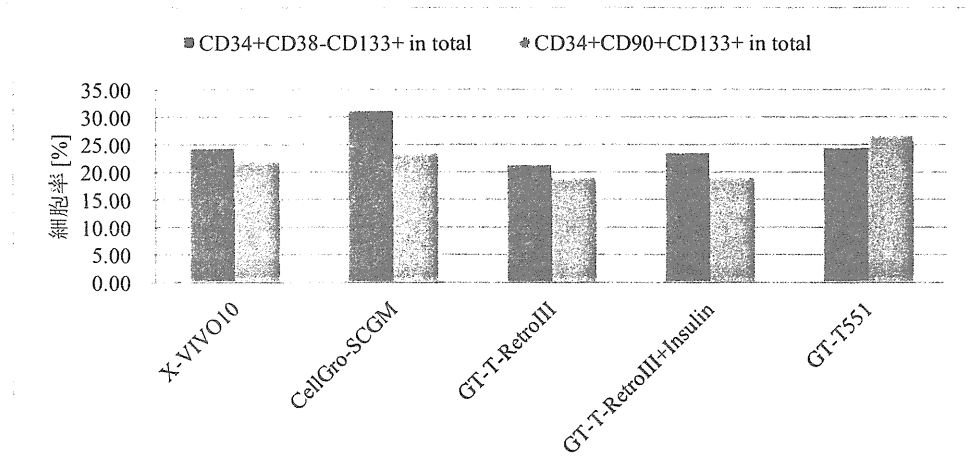
| 細胞表面マーカー         | 細胞率 [%] |
|------------------|---------|
| CD34+            | 99.2    |
| CD38-            | 0.2     |
| CD90+            | 38.2    |
| CD133+           | 44.4    |
| CD34+CD38-CD133+ | 0.2     |
| CD34+CD90+CD133+ | 25.2    |

### 5-11. 遺伝子導入 48 時間後の培養細胞の免疫表現型解析

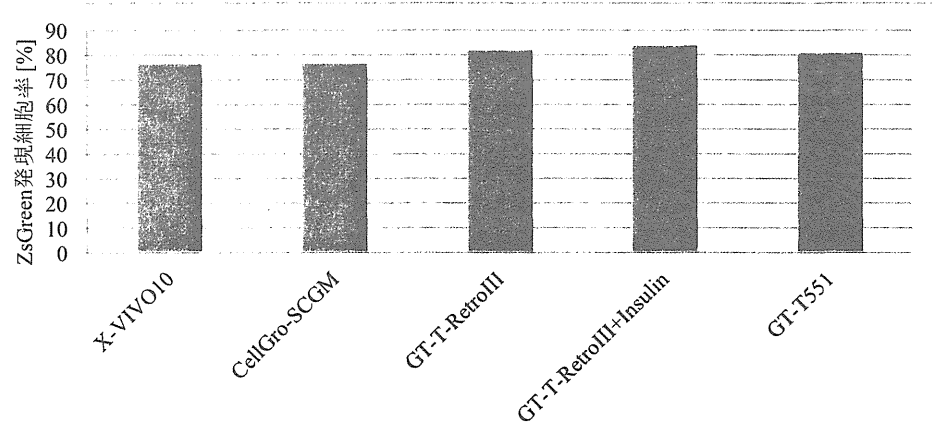
CD34、CD90、CD133 陽性細胞率及び CD38 陰性細胞率



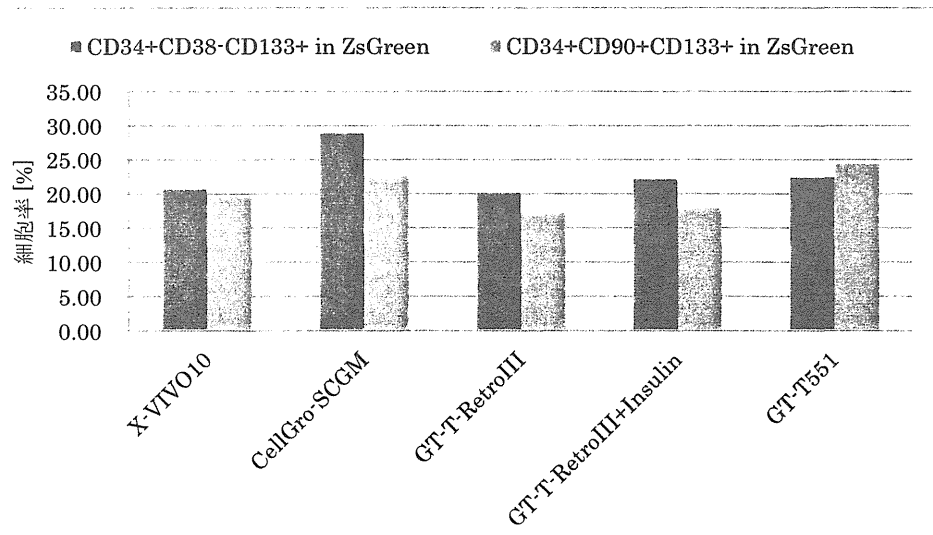
5-12. 培養細胞中の CD34+CD90+CD133+細胞率及び CD34+CD38-CD133+細胞率



5-13. 遺伝子導入 48 時間後の培養細胞の ZsGreen 発現細胞率



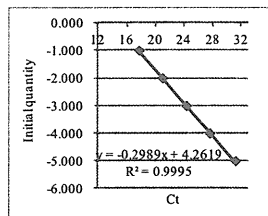
5-14. ZsGreen 発現細胞中の CD34+CD38-CD133+ 及び CD34+CD90+CD133+ 細胞率



### 5-15. 培養細胞中のレンチウイルスのプロウイルスコピー数測定結果

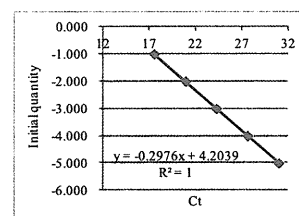
IFN $\gamma$  standard curve

| Sample ID   | ng     | Log(10) | Ct(SDM) | Average |
|-------------|--------|---------|---------|---------|
| Std Plasmid | 1.E-01 | -1.000  | 17.67   | 17.69   |
|             | 1.E-02 | -2.000  | 20.93   | 20.93   |
|             | 1.E-03 | -3.000  | 24.26   | 24.28   |
|             | 1.E-04 | -4.000  | 27.48   | 27.48   |
|             | 1.E-05 | -5.000  | 31.26   | 31.13   |
|             | SLOPE  |         | -0.2989 |         |
| INTERCEPT   |        |         | 4.262   |         |
| A.E. value  |        |         | 0.230   |         |
| RSQ         |        |         | 0.9995  |         |



Lentivirus\_copy standard curve

| Sample ID   | ng     | Log(10) | Ct(SDM) | Average |
|-------------|--------|---------|---------|---------|
| Std Plasmid | 1.E-01 | -1.000  | 17.38   | 17.57   |
|             | 1.E-02 | -2.000  | 20.97   | 20.78   |
|             | 1.E-03 | -3.000  | 24.18   | 24.22   |
|             | 1.E-04 | -4.000  | 27.53   | 27.59   |
|             | 1.E-05 | -5.000  | 30.73   | 31.14   |
|             | SLOPE  |         | -0.2976 |         |
| INTERCEPT   |        |         | 4.204   |         |
| A.E. value  |        |         | 0.229   |         |
| RSQ         |        |         | 1.0000  |         |

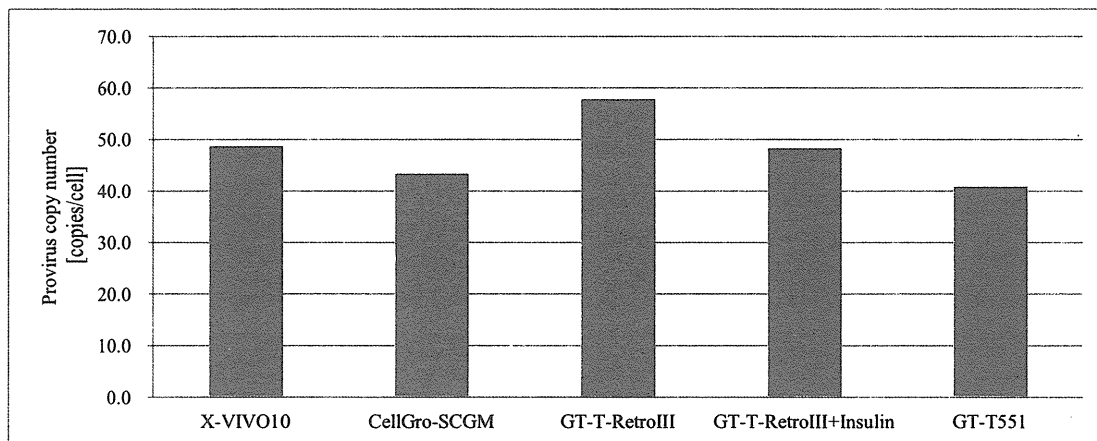


サンプルのIFN $\gamma$ 濃度

| 培地                   | Ct(SDM) | Average Ct | calculated Log(10) |
|----------------------|---------|------------|--------------------|
| X-VIVO10             | 25.07   | 25.13      | 25.10              |
| CellGro-SCGM         | 25.49   | 25.42      | 25.46              |
| GT-T-RetroII         | 25.6    | 25.61      | 25.61              |
| GT-T-RetroII+Insulin | 25.13   | 25.15      | 25.14              |
| GT-T551              | 24.79   | 24.84      | 24.82              |
| NGMC                 | 23.89   | 23.93      | 23.91              |

サンプルのLentivirus\_copy濃度

| 培地                   | Ct(SDM) | Average Ct | calculated Log(10) | Provirus copy |
|----------------------|---------|------------|--------------------|---------------|
| X-VIVO10             | 20.35   | 20.36      | 20.36              | 1.40.E-02     |
| CellGro-SCGM         | 20.91   | 20.85      | 20.88              | 9.79.E-03     |
| GT-T-RetroII         | 20.61   | 20.61      | 20.61              | 1.18.E-02     |
| GT-T-RetroII+Insulin | 20.37   | 20.44      | 20.41              | 1.36.E-02     |
| GT-T551              | 20.31   | 20.34      | 20.33              | 1.43.E-02     |
| NGMC                 | 32.73   | 33.49      | 33.11              | 2.25.E-06     |



以上

## IV. 班会議 プログラム・議事録

厚生労働科学研究費補助金 成育疾患克服等次世代育成基盤研究事業  
「国際共同治験に基づく小児稀少難病に対する遺伝子・細胞治療の実施とその支援体制の整備」

平成 25 年度班会議プログラム

日 時：平成 25 年 10 月 21 日（火）12 時～16 時  
場 所：国立成育医療センター研究所 2 階セミナールーム

1. 研究代表者挨拶 国立成育医療研究センター研究所成育遺伝研究部 小野寺雅史
2. 厚生労働省雇用均等・児童家庭局母子保健課 小倉加恵子課長補佐 ご挨拶
3. 報 告
  - 1) 本研究会の体制及び方向性の説明 小野寺雅史
  - 2) 原発性免疫不全症の遺伝子治療 内山 徹
  - 3) ライソゾーム病の遺伝子治療の現状 大橋 十也
  - 4) 閉鎖系培養システムを用いた造血幹細胞への遺伝子導入法 山元 茉莉
  - 5) SureSelect DNA キャプチャ法によるベクター挿入部位の網羅的同定の試み 中林 一彦
  - 6) 原発性免疫不全症に対する新生児マススクリーニングのパイロット研究方法について 今井 耕輔
  - 7) 遺伝子治療対象代謝性疾患に対するスクリーニング法の開発 奥山 虎之
  - 8) 北海道免疫不全症患者データベース（PIDH）の構築と集計結果について 有賀 正
  - 9) 遺伝子治療におけるデータ管理（仮題） 瀧本 哲也
  - 10) 臨床研究中核病院の機能と遺伝子治療の推進 藤本純一郎
4. その他
5. 事務連絡

締め切り 会計書類：2 月 25 日（火） 研究報告書：1 月 31 日（金）

## 厚生労働科学研究費補助金 成育疾患克服等次世代育成基盤研究事業

「国際共同治験に基づく小児稀少難病に対する遺伝子・細胞治療の実施とその支援体制の整備」

### 平成25年度第1回班会議 議事録

1. 日時：平成25（2013）年10月21日（火）12:00～16:30

2. 場所：国立成育医療センター研究所2階セミナールーム

3. 出席者：

研究代表者： 小野寺雅史 (国立成育医療センター成育遺伝研究部 部長)  
研究分担者： 奥山 虎之 (国立成育医療センター臨床検査部 部長)  
内山 徹 (国立成育医療研究センター研究所 成育遺伝研究部 室長)  
中林 一彦 (国立成育医療研究センター研究所 周産期病態研究部 室長)  
藤本純一郎 (国立成育医療研究センター臨床研究センター センター長)  
瀧本 哲也 (国立成育医療研究センター研究所臨床研究センター臨床研究推進室 室長)  
今井 耕輔 (東京医科歯科大学 大学院医歯学総合研究科 小児・周産期地域医療学  
講座 寄附講座准教授)  
布井 博之 (宮崎大学医学部生殖発達医学講座小児学分野 教授)  
有賀 正 (北海道大学大学院研究科小児科学分野 教授)  
衛藤 義勝 (財団法人脳神経疾患研究所 先端医療研究センター&遺伝病治療研究所  
センター長・研究所長)  
大橋 十也 (東京慈恵会医科大学 総合医科学研究センター DNA医学研究所  
遺伝子治療研究部 センター長・教授)  
研究協力者： 小須賀基通 (国立成育医療研究センター臨床検査部 医長)  
山元 末利 (国立成育医療研究センター成育遺伝研究部 研究員)  
渡辺 信之 (国立成育医療研究センター成育遺伝研究部 研究員)  
橋井 晶子 (国立成育医療研究センター成育遺伝研究部 事務)  
来賓 小倉加恵子課長補佐 (厚生労働省雇用均等・児童家庭局母子保健課)

#### 4. 審議内容

小倉課長補佐の挨拶後より、

- 1) 研究代表者の小野寺よりこれまでの流れと今回の方向性が示され、遺伝子治療を治験としてしていく体制整備が必要との旨が示された。
- 2) 布井より、現在、遺伝子治療を希望している慢性肉芽腫症の患者状況が説明された。
- 3) 内山より、原発性免疫不全症に対する遺伝子治療臨床研究の現状と方向性が説明された。
- 4) 大橋より、先天性代謝性疾患に対する遺伝子治療臨床研究の現状と方向性が説明された。
- 5) 山元より、造血幹細胞への遺伝子導入に必要となる遺伝子導入法の概要が示された。
- 6) 中林より、次世代シーケンサにより網羅的ベクター挿入部位の解析と原発性免疫不全症に対するエクソーム解析法が示された。
- 7) 今井より、原発性免疫不全症に対する新生児マススクリーニングの導入の仕方が示された。
- 8) 奥山より、先天性代謝性疾患に対する新生児マススクリーニングの現状とその方向性が示された。
- 9) 有賀より、北海道における免疫不全症患者のデータベース（PIDH）についての説明があった。
- 10) 瀧本より、治験に向けたデータ管理法についての概要が示された。
- 11) 藤本より、成育医療研究センターにおける臨床研究中核病院構想が紹介された。

上記に関して時間を超過する程の熱心の討論が行われ、当班の今後の方向性が確認された。

#### 5. 事務連絡

締め切りに関しては、会計書類が2月25日、報告書が1月31日を予定している。

以上

## V. 研究成果の刊行に関する一覧表

研究成果の刊行に関する一覧表

雑誌

| 発表者氏名   | 論文タイトル   | 発表誌名                | 巻   | ページ       | 出版年      |
|---|--|---------------------|-----|-----------|----------|
| Takeda K, Nakazawa Y, Komuro H, Yamamoto M, Shoji K, Morita K, Miyairi I, Katsuta T, Ohya Y, Ishiguro A, Onodera M                              | Augmentation of anti-tubercular therapy with interferon $\gamma$ in a patient with dominant partial interferong.   | Clinical Immunology | 151 | 25-28     | 2014     |
| Yamamoto R, Morita Y, Ooehara J, Hamanaka S, <u>Onodera M</u> , Rudolph KL, Ema H, Nakauchi H.  | Clonal analysis unveils self-renewing lineage-restricted progenitors generated directly from hematopoietic stem cells.   | Cell                | 154 | 1112-1126 | 2013     |
| Hamanaka S, Ooehara J, Morita Y, Ema H, Takahashi S, Miyawaki A, Otsu M, Yamaguchi T, <u>Onodera M</u> , Nakauchi H.                            | Generation of transgenic mouse line expressing Kusabira Orange throughout body, including erythrocytes, by random segregation of provirus method.                  | BBRC                | 435 | 586-591   | 2013     |
| Kawai T, Watanabe N, Yokoyama M, Arai K, Oana S, Harayama S, Yasui K, Ohishi T, <u>Onodera M</u>  | Thalidomide Attenuates Excessive Inflammation without Interrupting Lipopolysaccharide-driven inflammatory cytokine production in chronic granulomatous disease.    | Clinical Immunology | 147 | 122-128   | 2013     |
| Looi CY, Sasahara Y, Watanabe Y, Satoh M, Hakozaki I, Uchiyama M, Wong WF, Du W, <u>Uchiyama T</u> , Kumaki S, Tsuchiya S, Kure S.              | The open conformation of WASP regulates its nuclear localization and gene transcription in myeloid cells.  | Int Immunol.        |     |           | in press |
| Kitazawa H, Moriya K, Niizuma H, Kawano K, Saito-Nanjo Y, <u>Uchiyama T</u> , Rikiishi T, Sasahara Y, Sakamoto O, Setoguchi Y, Kure S.          | Interstitial lung disease in two brothers with novel compound heterozygous ABCA3 mutations.  | Eur J Pediatr.      | 172 | 953-957   | 2013     |
| Watanabe Y, Sasahara Y, Satoh M, Looi CY, Katayama S, Suzuki T, Suzuki N, Ouchi M, Horino S, Moriya K, Nanjyo Y, ... <u>Uchiyama T</u> , et al. | A case series of CAEBV of children and young adults treated with reduced-intensity conditioning and allogeneic bone marrow transplantation: a single-center study. | Eur J Haematol.     | 91  | 242-248   | 2013     |
| Horino S, <u>Uchiyama T</u> , So T, Nagashima H, Sun SL, Sato M, Asao A, Haji Y, Sasahara Y, et al.   | Gene therapy model of X-linked severe combined immunodeficiency using a modified foamy virus vector.   | PLoS One            | 8   | e71594    | 2013     |

|   |   |                        |              |           |          |
|---|---|------------------------|--------------|-----------|----------|
| Akiyama K, Shimada Y, Higuchi T, Ohtsu M, Nakauchi H, Kobayashi H, Fukuda T, Ida H, <u>Eto Y</u> , Crawford BE, Brown JR, <u>Ohashi T</u> . | Enzyme augmentation therapy enhances the therapeutic efficacy of bone marrow transplantation in mucopolysaccharidosis type II mice.   | Mol Genet Metab.       | 111          | 139-146   | 2013     |
| Sato T, Ikeda M, Yotsumoto S, Shimada Y, Higuchi T, Kobayashi H, Fukuda T, <u>Ohashi T</u> , Suda T, Ohteki T.                              | Novel interferon-based pre-transplantation conditioning in the treatment of a congenital metabolic disorder.  | Blood                  | 12           | 3267-3273 | 2013     |
| Dairaku T, Iwamoto T, Minami M, Endo M, <u>Ohashi T</u> , <u>Eto Y</u> .  | A practical fluorometric assay method to measure lysosomal acid lipase activity in dried blood spots for the screening of cholestrylo ester storage disease and Wolman disease.     | Mol Genet Metab.       | 111          | 193-196   | 2014     |
| Takamura A, Sakai N, Shinpoo M, Noguchi A, Takahashi T, Matsuda S, Yamamoto M, Narita A, Ohno K, <u>Ohashi T</u> , Ida H, <u>Eto Y</u> .    | The useful preliminary diagnosis of Niemann-Pick disease type C by filipin test in blood smear.   | Mol Genet Metab.       | 110          | 401-404   | 2013     |
| Kawagoe S, Higuchi T, Otaka M, Shimada Y, Kobayashi H, Ida H, <u>Ohashi T</u> , Okano HJ, Nakanishi M, <u>Eto Y</u> .                       | Morphological features of iPS cells generated from Fabry disease skin fibroblasts using Sendai virus vector (SeVdp).  | Mol Genet Metab.       | 2109         | 386-389   | 2013     |
| Kosaki R, Takenouchi T, Takeda N, Kagami M, Nakabayashi K, Hata K, Kosaki K   | Somatic CTNNB1 mutation in hepatoblastoma from a patient with Simpson-Golabi-Behmel syndrome and germline GP C3 mutation.   | Am J Med Genet A       |              |           | in press |
| 右田 王介<br>中林 一彦<br>秦 健一郎   | 特集 遺伝子検査による早期診断<br>次世代シーケンサーとは  | 周産期医学                  | Vol.44 No. 2 |           | in press |
| Suzuki E, Yatsuga S, Igarashi M, Miyado M, Nakabayashi K, Hayashi K, Hata K, Umezawa A, Yamada G, Ogata T, Fukami M.                        | De novo Frameshift Mutation in Fibroblast Growth Factor 8 in a Male Patient with Gonadotropin Deficiency.   | Horm Res Paediatr.     |              |           | in press |
| Maruyama J, Matsunaga T, Yamaori S, Sakamoto S, Kamada N, Nakamura K, Kikuchi S, <u>Ohmori S</u>  | Differentiation of monkey embryonic stem cells to hepatocytes by feeder-free dispersion culture and expression analysis of cytochrome P450 enzymes responsible for drug metabolism. | Biol Pharm Bull        | 36           | 292-298   | 2013     |
| Sasaki T, Takahashi S, Numata Y, Narita M, Tanaka Y, Kumagai T, Kondo Y, Matsunaga T, <u>Ohmori S</u> , Nagata K                            | Hepatocyte nuclear factor 6 activates the transcription of CYP3A4 in hepatocyte-like cells differentiated from human induced pluripotent stem cells.                                | Drug Metab Pharmocokin | 28           | 250-259   | 2013     |

|  |  |  |     |           |          |
|--|--|--|-----|-----------|----------|
| Jiang R, Yamaori S,<br><u>Ohmori S</u> , Yamamoto I,<br>Watanabe K   | Cannabidiol is a potent inhibitor of the catalytic activity of cytochrome P450 2C19.   | Drug Met ab Pharm acokin                     | 28  | 332-338   | 2013     |
| Kusafuka Y, Kurita H,<br>Sakurai S, Suzuki S,<br>Nakanishi Y, Katsuyama<br>Y, <u>Ohmori S</u>  | Effect of single dose extended-release oral azithromycin on anticoagulation status in arfarinized patients.                        | Oral Surg Oral Med Oral Path ol Oral Ra diol | 115 | 148-151   | 2013     |
| Tanaka N, Horiuchi A,<br>Nakayama Y, Katsuyama<br>Y, Isobe M, Aoyama T,<br>Tanaka E, <u>Ohmori S</u>   | Safety and effectiveness of low-dose propofol esophagogastroduodenoscopy in Child A and B cirrhotic patients.                      | Dig Dis Sci                                  | 58  | 1383-1389 | 2013     |
| Kojima R, Ohno T, Iikura<br>M, Niki T, Hirashima M, but<br>Iwaya K, Tsuda H, degranulation, in human mast cell line.<br><u>Nonoyama S</u> , Matsuda A,<br>Saito H, Matsumoto K,<br>Nakae S.  | Galectin-9 enhances cytokine secretion, but suppresses survival and<br>Nonoyama S, Matsuda A,<br>Saito H, Matsumoto K,<br>Nakae S. | PLoS One.                                    | 9   | e86106    | 2014     |
| Horiuchi K, Imai K,<br>Mitsui Sekinaka K, Yeh<br>ZW, Ochs HD, Durandy<br>A, <u>Nonoyama S</u> .  | Analysis of somatic hypermutation in the IgM switch region in human B cells.   | J Clin Allergy Immunol.                      |     |           | in press |
| Kamae C, Nakagawa N,<br>Sato H, Honma K, classification by quantifying T-cell<br>Mitsuiki N, Ohara O, receptor and immunoglobulin κ-deleting<br>Kanegane H, Pasic S, recombination excision circles.<br>Pan-Hammarström Q,<br>van Zelm MC, Morio T,<br><u>Imai K, Nonoyama S</u> . | Common variable immunodeficiency<br>receptor and immunoglobulin κ-deleting<br>recombination excision circles.                      | J Allergy Clin Immunol.                      | 131 | 1437-1440 | 2013     |
| Kakiuchi S, <u>Nonoyama S</u> ,<br>Wakamatsu H, Kogawa K,<br>Wang L, <u>Nonoyama S</u> ,<br>Kinoshita-Yamaguchi H,<br>Takayama-Ito M, et al.   | Neonatal herpes encephalitis caused by a virologically confirmed acyclovir resistant herpes simplex virus type 1.                  | J. Clin. Microbiol.                          | 51  | 356-359   | 2013     |
| Kojima R, Fujiwara T,<br>Matsuda A, Narita M,<br>Matsubara O, <u>Nonoyama S</u> ,<br>Ohya Y, Saito H,<br>Matsumoto K.  | Factors Associated with Steroid Phobia in Caregivers of Children with Atopic Dermatitis.   | Pediatr Dermatol.                            | 30  | 29-35     | 2013     |
| Kojima R, Matsuda A,<br>Nomura I, Matsubara O,<br><u>Nonoyama S</u> , Ohya Y,<br>Saito H, Matsumoto K.   | Salivary Cortisol Response to Stress in Young Children with Atopic Dermatitis.   | Pediatr Dermatol.                            | 30  | 17-22     | 2013     |

|   |   |                            |     |           |          |
|---|---|----------------------------|-----|-----------|----------|
| Bousfiha A, Jeddane L, Alail F, Al-Herz, Conley M.E., Cunningham-Rundles C, Etzioni A, Fischer A, Franco J.L., Geha R.S., Hammarström L, Nonoyama S, et al. | A Phenotypic Approach for IUIS PID Classification and Diagnosis: Guidelines for Clinicians at the Bedside.  | J Clin Immunol.            | 33  | 1078-1087 | 2013     |
| Yoshimi A, Kamachi Y, Imai K, Watanabe N, Nakadate H, Kanazawa T, Ozono S, et al.   | Wiskott-Aldrich syndrome presenting with a clinical picture mimicking juvenile myelomonocytic leukaemia   | Pediatr Blood Cancer       | 60  | 836-841   | 2013     |
| 今井耕輔  | TREC,KRECによる原発性免疫不全症のスクリーニング  | 小児内科                       | 45  | 1148-1151 | 2013     |
| 今井耕輔  | 新生児スクリーニングによる原発性免疫不全症の診断  | 小児科臨床                      | 66  | 1025-1032 | 2013     |
| Okuyama T, Yotsumoto J, Funato Y  | Survey of second-trimester maternal serum screening in Japan.   | J Obstet Gynaecol Res.     | 39  | 942-947   | 2013     |
| Tajima G, Sakura N, Kosuga M, Okuyama T, Kobayashi M.   | Effects of idursulfase enzyme replacement therapy for Mucopolysaccharidosis type II when started in early infancy: comparison in two siblings.                              | Mol Genet Metab.           | 108 | 172-177   | 2013     |
| Niizeki H, Shiohama A, Sasaki T, Seki A, Kabashima K, Otsuka A, Takeshita M, Hirakiyama A, Okuyama T, et al.  | The novel SLCO2A1 heterozygous missense mutation p.E427K and nonsense mutation p.R603* in a female patient with pachydermoperiostosis with an atypical phenotype.           | Br J Dermatol.             |     |           | in press |
| 後藤由紀、柿島裕樹、藤直子、渡辺靖、小関満、松林守、木田和宏、小須賀基通、奥山虎之   | ポンペ病を対象とした新生児マスクリーニングの運用  | 日本マスクリーニング学会誌              | 23  | 251-55    | 2013     |
| Ariga T   | A possible turning point in the hematopoietic stem cell gene therapy for primary immunodeficiency diseases?: lentiviral vectors could take the place of retroviral vectors. | Expert Rev. Clin. Immunol. | 11  | 1015-1018 | 2013     |
| Ichikawa M, Arai Y, Haruta M, Furukawa S, Ariga T, Kajii T, Kaneko Y.   | Meiosis error and subsequent genetic and epigenetic alterations invoke the malignant transformation of germ cell tumor.   | Gene, Chromosome & Cancer  | 52  | 274-286   | 2013     |
| Okura Y, Takezaki S, Yamazaki Y, Yamada M, Kobayashi I, Ariga T   | Rapid progression to pulmonary arterial hypertension crisis associated with mixed connective tissue disease in an 11-year-old girl.   | Eur J Pediatr              | 172 | 1263-1265 | 2013     |